

## تعیین عناصر دارای پتانسیل غنی شدگی در باطله های کانه آرایی معدن مس

### سرچشمه رفسنجان، استان کرمان

مهرداد خراسانی پور<sup>۱\*</sup>، عصمت اسماعیل زاده<sup>۲</sup>

۱- استادیار گروه زمین‌شناسی، دانشگاه شهید باهنر کرمان

۲- کارشناس پژوهش تحقیق و توسعه مجتمع مس سرچشمه، رفسنجان، کرمان

(تاریخ دریافت ۹۵/۰۳/۱۷ - تاریخ پذیرش ۹۵/۱۱/۲۴)

#### چکیده

باطله های کانه آرایی مهم‌ترین نوع باطله معدنی می‌باشند که در طی فرایند فرآوری کان سنگ‌های سولفیدی؛ به ویژه مس پورفیری در حجم بسیار زیادی تولید می‌گردند. هدف اصلی از انجام این پژوهش تعیین عناصر دارای غنی شدگی در باطله های کانه آرایی معدن مس سرچشمه، به عنوان یکی از بزرگ‌ترین معدن مس پورفیری دنیا می‌باشد. برای این منظور تعداد ۹۰ نمونه سطحی و عمیق (تا عمق تقریباً ۱۰ متر) از باطله های تازه و همچنین از باطله های غیرهوازده در بخش‌های قابل دسترس سد باطله نمونه برداری شدند. از این تعداد، ۱۴ نمونه مرکب برای انجام آنالیز چند عنصری به روش طیف سنجی جرمی با پلاسمای جفت شده القائی (ICP-MS) و تهیه مقاطع صیقلی آماده گردید. مطالعه میکروسکوپی مقاطع صیقلی نشان داد که باطله ها اغلب حاوی کانی سولفیدی پیریت و در مواردی حاوی کالکوپیریت و کالکوسیت می‌باشند. از مجموع بیش از ۶۰ عنصر بررسی شده نتایج حاصل از شاخص نرمال شده غنی شدگی نشان می‌دهد که در مقایسه با غلظت متوجه پوسته ای عناصر و همچنین غلظت آنها در سنگ گرانودیوریت غیرکانه زا (۱) عناصر آنتیموان ( $mg/kg \pm ۱/۱ \pm ۳/۹$ )، تنگستن ( $mg/kg \pm ۰/۱۵ \pm ۰/۱۰$ )، آرسنیک ( $mg/kg \pm ۰/۸ \pm ۰/۸$ )، آرسنیک ( $mg/kg \pm ۰/۲\ ۱/۴ \pm ۰/۲\ ۳$ )، بیسموت ( $mg/kg \pm ۰/۱۰ \pm ۰/۳\ ۳ \pm ۰/۱\ ۰$ )، طلا ( $mg/kg \pm ۰/۰\ ۷ \pm ۰/۰\ ۷$ )، رنیم ( $mg/kg \pm ۰/۰\ ۷ \pm ۰/۰\ ۷$ )، تلویریم ( $mg/kg \pm ۰/۰\ ۷ \pm ۰/۰\ ۷$ )، سلیم ( $mg/kg \pm ۰/۰\ ۹\ ۵ \pm ۰/۰\ ۹\ ۵$ ) و مولیبدن ( $mg/kg \pm ۰/۰\ ۸\ ۱ \pm ۰/۰\ ۸\ ۱$ ) دارای غنی شدگی با اهمیت، (۲) عناصر مس ( $mg/kg \pm ۰/۰\ ۵\ ۲ \pm ۰/۰\ ۵\ ۰$ ) و آهن ( $mg/kg \pm ۰/۰\ ۴\ ۷\ ۸ \pm ۰/۰\ ۴\ ۳\ ۵$ ) دارای غنی شدگی خیلی زیاد و (۳) عناصر گوگرد ( $mg/kg \pm ۰/۰\ ۶\ ۴ \pm ۰/۰\ ۷\ ۵$ )، رنیم ( $mg/kg \pm ۰/۰\ ۷ \pm ۰/۰\ ۷$ )، تلویریم ( $mg/kg \pm ۰/۰\ ۷ \pm ۰/۰\ ۷$ )، سلیم ( $mg/kg \pm ۰/۰\ ۹\ ۵ \pm ۰/۰\ ۹\ ۵$ ) و مولیبدن ( $mg/kg \pm ۰/۰\ ۸\ ۱ \pm ۰/۰\ ۸\ ۱$ ) دارای غنی شدگی بی نهایت زیاد می‌باشند (میانگین غلظت  $\pm$  انحراف معیار). این عناصر یا کالکوپیریل بوده و یا پتانسیل بالایی برای حضور در فازهای سولفیدی مانند پیریت و کالکوپیریت دارند. نتایج بدست آمده به خوبی با عالمی ژئوشیمیایی عناصر در کانسارهای مسپورفیری همخوانی داشته و مبین عناصر دارای پتانسیل اقتصادی-زیست محیطی در باطله های کانه آرایی معدن مس سرچشمه می‌باشند.

**کلید واژگان:** باطله های کانه آرایی، ژئوشیمی، کانی های سولفیدی، مجتمع مس سرچشمه

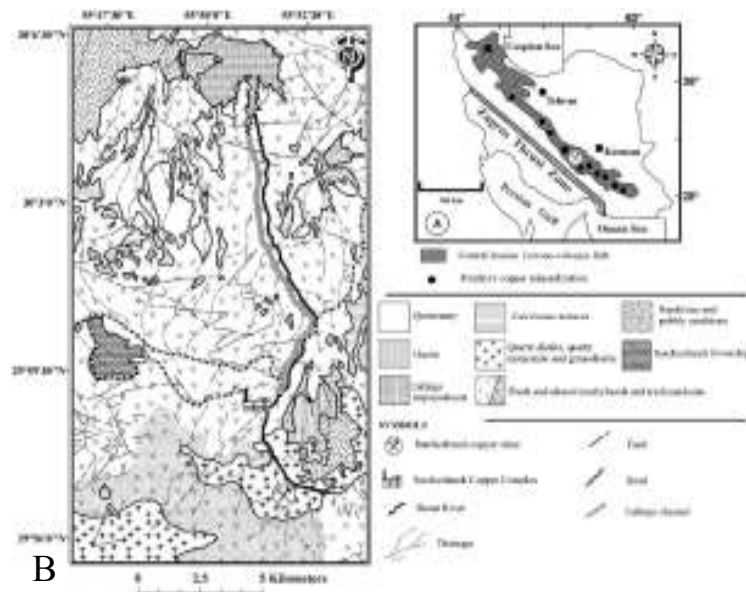
## ۱. مقدمه

بدنبال کانه آرایی ناقص در طی زمان حوضچه های سد رسوب گیر مقداری از کانیهای سولفیدی با ارزش را نیز دریافت می کنند (Lottermoser, 2003). مدیریت زیست محیطی باطله ها کانه آرایی یکی از چالش های مهم در فرایند معدنکاری کانسنسگ های سولفیدی محسوب می شود. برخی از مهمترین این چالش ها شامل (۱) خطر شکست سدهای باطله و عاقبت زیست محیطی مرتبط با آنها؛ (۲) تخریب شدید محیط زیست بدلیل گسترش زیاد سدهای باطله و (۳) پتانسیل آلودگی منابع آب سطحی و زیرزمینی بدلیل وجود مواد شیمیایی استفاده شده در طی فرایند کانه آرایی، می باشد (Kossoff *et al.*, 2014).

معدن مس سرچشممه مهمترین معدن مس ایران و یکی از بزرگترین کانسسارهای مس پورفیری دنیا محسوب می گردد. این معدن در ۱۶۰ کیلومتری جنوب شرق شهر کرمان و در موقعیت جغرافیایی با مختصات "۲۰° ۵۵'۰۵" طول شرقی و "۴۰° ۲۹'۰۵" عرض شمالی واقع شده است (شکل ۱). ویژگیهای زمین شناسی، کانه زایی، زمین ساختی و زیست محیطی معدن مس سرچشممه توسط محققیق مختلف بررسی شده است (Aftabi and Atapour, 2010; Atapour and Aftabi, 2007; Hezarkhani, 2006; Khorasanipour *et al.*, 2011; Khorasanipour and Eslami, 2014; Khorasanipour, 2015; Shahabpour and Doorandish, 2007).

سد رسوب گیر معدن مس سرچشممه که در فاصله تقریبی ۱۹ کیلومتری شمال این معدن واقع شده است،

در فرایند معدن کاری، کانی های با ارزش، استخراج شده تنها بخش کوچکی از کل توده کانسنسگ را شامل می شوند و بخش اعظم سنگ معدن کاری شده در نهایت به صورت باطله های فرآوری<sup>۱</sup> وارد حوضچه های سد Dold and Fontboté, 2001; Khorasanipour and Eslami, 2014; Saxena and Dhimole, 2006 به عنوان مهمترین منشا مس و مولیبден دنیا شناخته شده اند (Lowell and Gilbert, 1970; Singer *et al.*, 2008); باطله های کانه آرایی مهمترین و حجمی ترین نوع باطله ها را شامل می شوند. وزن خشک باطله های فرآوری تقریباً برابر با وزن کانسنسگ معدن کاری شده می باشد (Lottermoser, 2003). در سطح دنیا سالانه در حدود ۱۸ میلیارد متر مکعب باطله کانه آرایی تولید می شود، یعنی چیزی تقریباً معادل رسوب طبیعی که توسط رودخانه های دنیا جابجا می شود. این مقدار در طی ۲۰ تا ۳۰ سال آینده دو برابر خواهد شد (Aswathanarayana, 2005) عظیمی از باطله های فرآوری به حوضچه هایی با سطح وسیع، تحت عنوان سد باطله یا سد رسوب گیر پمپاژ می شوند. سدهای باطله بدلیل وسعت نسبتاً زیاد از دیدگاه تخریب چشم اندازه ای طبیعی بزرگترین اثر هر فرایند معدن کاری محسوب می گردد. ویژگیهای سدهای باطله و اثرات زیست محیطی آنها بطور کامل توسط Kossoff و همکاران (2014) شرح داده شده اند.



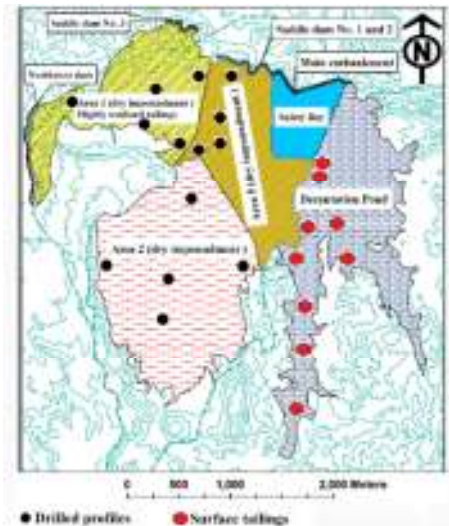
**شکل ۱-۱:** کمربند آتشفسانی نفوذی ایران مرکزی و موقعیت معدن مس سرچشمه در این کمربند (modified after Shahabpour and modified after B., Kramers, 1987) نقشه زمین شناسی منطقه سر چشمه با در نظر گرفتن موقعیت معدن سرچشمه و سد باطله (Dimitrijevic, 1973)

در باطله های تازه و غیرهوازده در سد رسوب گیر  
مجتمع مس سرچشمه می باشد تا از این طریق ماهیت  
زیست محیطی و پتانسیل اقتصادی بالقوه آنها مشخص  
شود.

۲. مواد و روش‌ها

نمونه برداری از تمام بخش های قابل دسترس باطله های تازه و غیراکسیدی انجام شد. برای نمونه برداری از بخش های خشک از دستگاه نمونه برداری دستی استفاده گردید. این دستگاه قابلیت نفوذ در محیط های باافت نرم مانند باطله را دارا می باشد. عمق نفوذ این نمونه بردار حدود ۹ تا ۱۰ متر بود. در بخش های خشک شده سد بد لیل وجود آب زیرزمینی امکان نمونه برداری از عمق بیش از ۱۰ متر وجود نداشت. تعداد نمونه های برداشت شده در مجموع بیش از ۹۰ نمونه بود که بعد از جمع آوری در شرایط محیطی خشک شدند.

مشتمل بر چندین حوضچه تخلیه باطله می‌باشد (شکل ۲). این سد شاید قدیمی‌ترین سد باطله در ایران باشد که از سال ۱۳۶۲ تخلیه باطله در آن شروع شده است. با گذشت زمان و دراثر تخریب کانی‌های سولفیدی موجود در لایه سطحی باطله‌ها قدمی، این باطله‌ها کاملاً اکسید شده‌اند (Khorasanipour, 2015). در حال حاضر و با راه اندازی "تیکنرهای خمیری" آب بیشتری از باطله گرفته شده و باطله منتقل شده به سد با نسبت تقریباً ۶۰ درصد جامد به ۴۰ درصد مایع تخلیه می‌شود. از نظر جریان آب سطحی، سدهای متواالی به یکدیگر مرتبط بگونه‌ای که آب موجود در سد در محل استقرار شناور سیار جمع شده و مجدداً جهت مصرف در مجتمع مس سرچشمی پمپاژ می‌شود. هدف از انجام این پژوهش شناسایی عناصر دارای پتانسیل غنی شدگی



شکل ۲-بخشهای مختلف سد رسوگیر مجتمع مس سرچشمه بهمراه محل نمونه برداری از باطله ها

داده های تکرار شده می باشد واز طریق رابطه ۱ محاسبه می شود.

$$RSD = \frac{\delta}{\bar{X}} \times 100 \quad \text{رابطه ۱}$$

در رابطه فوق  $\delta$  انحراف معیار و  $\bar{X}$  میانگین دو داده تکرار شده است. نتایج نشان داد که در مجموع میانگین RSD برای تمام عناصر در نمونه های تکرار شده  $\pm 1/42$  درصد می باشد.

### ۳. نتایج

#### ۱۰.۳. کانی شناسی مقاطع صیقلی

پیریت فراوانترین کانی های سولفیدی موجود در باطله ها است(شکل ۳A). این کانی در مقاطع صیقلی، دارای رنگ زرد بوده و در برخی از نمونه ها به اکسید آهن تجزیه شده است. پیریت در کانسار مس پورفیری سرچشمه به وفور در تمامی مناطق کانه زایی یافت می گردد. این کانی مهمترین کانی سولفیدی در زون هایپوژن است که به صورت پراکنده و همچنین در رگه ها دیده می شود (Shafiei, 2008). زون هایپوژن یا

ازین تعداد، ۱۴ نمونه مرکب<sup>۱</sup> برای آنالیز چند عنصری به روش طیف سنجی جرمی با پلاسمای جفت شده القائی<sup>۲</sup> و همچنین تهیه مقاطع صیقلی انتخاب شدند. با توجه به اینکه نمونه های باطله ها به صورت پودر می باشند، تهیه مقاطع صیقلی از آنها به صورت قرص صیقل داده شده با استفاده از روش حرارتی در آزمایشگاه مجتمع مس سرچشمه صورت گرفت. آنالیز نمونه های باطله در آزمایشگاه "اکت لب"<sup>۳</sup> کشور کانادا و در مجموع برای ۶۱ عنصر انجام شد. به منظور کنترل کیفیت، دقت نتایج از طریق تکرار نمونه های مشابه و صحت نتایج از طریق آنالیز نمونه های مرجع استاندارد در آزمایشگاه مربوطه مورد ارزیابی قرار گرفت. میزان دقت نتایج بر اساس شاخص "انحراف معیار نسبی"<sup>۴</sup> محاسبه گردید. این شاخص بیانگر انحراف معیار نسبی

1-Composite

2-ICP-MS

3-Actlabs

4-Relative Standard Deviation, RSD

نهایت رنگ تیره اولیه باطله ها را به رنگ های قرمز و زرد تبدیل خواهد کرد. شکل ۴ تبدیل بخشی از کانی پیریت به اکسیدهای آهن در باطله ها را نشان می دهد.

### ۲.۰.۳. شناسایی عناصر دارای غنی شدگی

به منظور تعیین عناصر دارای غنی شدگی از شاخص غنی شدگی نرمال شده<sup>۱</sup> استفاده گردید (Khorasanipour and Esmaeilzadeh, 2015 and 2016). معیار مقایسه در این شاخص غلظت عناصر در سنگ گرانودیوریت غیر کانه زا و همچنین متوسط پوسته ای آنها قرار داده شد. با توجه به اینکه کانه زایی صورت گرفته در معدن مس سرچشمه در یک توده با ترکیب گرانودیوریتی تا کوارتز مونزونیتی می باشد (Atapour & Aftabi, 2007) از گرانودیوریت غیر کانه زا به عنوان یکی از معیارهای مقایسه استفاده شد. از طرف دیگر متوسط پوسته ای عناصر نیز به خوبی نشان می دهد که با توجه به ماهیت سنگ و کانه زایی صورت گرفته کدامیک از عناصر دارای آنومالی می باشند. این شاخص از طریق رابطه ۲ محاسبه گردید.

رابطه ۲

$$NEF = \frac{\frac{[M]}{[Sc]}}{\frac{[M]}{[Sc]}}$$

نمونه مورد نظر  
فرآونی پوسته ای با سنگ گرانودیوریت

در رابطه فوق NEF شاخص غنی شدگی نرمال شده، M عنصر مورد نظر و Sc بیانگر عنصر نرمال کننده

زون غنی شده درون نزد داخلى ترین بخش کانه زا يى در معادن مس پورفیری محسوب می گردد. اين بخش در زير زون های اکسید و غنی شده سوپرژن (برونزداد) قرار دارد. در کانسار مس سرچشمه نسبت پیریت به کالکوپیریت از ۲ به ۱ در قسمت های خارجی زون هایپوزن به ۱۰ به ۱ در قسمت های داخلی و مجاور با (Hezarkhani, 2006). اين کانی در شرایط هوازدگی سطحی پایدار نبوده و به مرور زمان اکسید می شود. بررسی های قبلی صورت گرفته در منطقه نیز نشان می دهد که کانی پیریت در باطله های هوازده و قدیمی سد باطله سرچشمه بطور کامل اکسید شده است (Khorasanipour, 2015). کالکوپیریت کانی سولفیدی دیگری است که در مقاطع صیقلی مشاهده گردید (شکل ۳B). این کانی نیز به عنوان یکی از اساسی ترین و عمده ترین کانی های اولیه در زون هایپوزن معدن سرچشمه وجود دارد. کالکوسیت از کانی های سولفیدی دیگری است که مقدار آن در مقاطع شاید به کمتر از ۱ درصد برسد (شکل ۳C). این کانی تنها در باطله های قدیمی موجود در خلیج های ۱ و ۵ شناسایی شد. کالکوسیت مهمترین و فراوانترین کانی منطقه سولفیدی غنی شده ثانویه معدن مس سرچشمه می باشد.

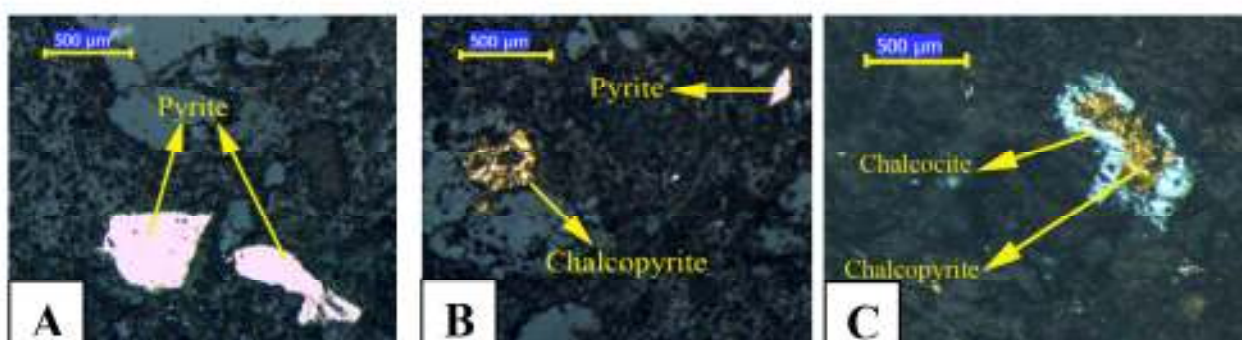
اکسیدهای آهن از جمله فازهای اکسیدی می باشند که بدليل غیر هوازده بودن باطله ها در مقاطع به مقدار کم حضور دارند. اکسید آهن موجود در باطله ها حاصل اکسایش کانی های سولفیدی به ویژه پیریت موجود در باطله ها می باشد. مسلماً با گذشت زمان و اکسیدشدن باطله های فرآوری در بخش های خشک شده سد رسوبگیر اکسیدهای آهن تشکیل خواهد شد که در

II-شاخص های غنی شدگی  $NEF \leq 5$  غنی شدگی متوسط  
 III-شاخص های غنی شدگی  $5 < NEF \leq 20$  غنی شدگی با اهمیت  
 IV-شاخص های غنی شدگی  $20 < NEF \leq 40$  غنی شدگی خیلی زیاد  
 V-شاخص های غنی شدگی  $NEF > 40$  غنی شدگی بی نهایت زیاد

محاسبه شاخص NEF برای نمونه های آنالیز شده از باطله ها سد رسوگیر سرچشمه نشان داد که با در نظر

اسکاندیم می باشد. در واقع صورت کسر رابطه فوق بیانگر غلظت در نمونه های باطله و مخرج کسر بیانگر غلظت پوسته ای و یا غلظت عنصر مورد نظر در سنگ گرانودیوریت غیر دگرسان می باشد. در هر دو مورد برای نرمال کردن نتایج از عنصر اسکاندیم استفاده شد که عنصری مرجع بوده و در بسیاری از شاخص های غنی شدگی استفاده می شود (Shotyk *et al.*, 2000) و همکاران (Lu *et al.*, 2009) بر مبنای مقادیر بدست آمده از شاخص غنی شدگی نرمال شده درجات متفاوتی از غنی شدگی را به شرح زیر پیشنهاد داده اند:

I-شاخص های غنی شدگی کمتر از ۲ فاقد غنی شدگی



شکل ۳- تصاویر میکروسکوپی از وجود کانی های سولفیدی در باطله های کانه آرایی معدن سرچشمه، A: پیریت، B: کالکوپیریت و کالکوپیریت، C: کالکوپیریت و کالکوپیریت



شکل ۴- اکسید شدن پخشی از کانی پیریت و تبدیل آن به ترکیبات اکسید آهن در باطله ها کانه آرایی معدن سرچشمه

## تعیین عناصر دارای پتانسیل غنی شدگی ...

U, Rb, Dy, Eu, Th, Al, Y, K, Mn, Ti, Gd, Pr, Sm, Be, Ca, La, Nd, Ga, Ta, Ge, Nb, Na, Er, Hg, Sr, Yb, Li, Tb, Tm, Zr و Hf, Ba می‌باشند. این عناصر شامل  $NEF \leq 5$  (۲< $NEF \leq 5$ ) می‌باشند.

۲- عناصر دارای غنی شدگی متوسط ( $20 < NEF \leq 50$ ) شامل عناصر Lu, Tl, Co, Pb, Zn, Cd, Mg, Au, Bi, As, W, Sb, S, Se, Fe, Mo, Cu, Re, Te و (جدول ۱)

۳- عناصر دارای غنی شدگی با اهمیت ( $NEF \leq 20$ ) شامل عناصر Au, Bi, As, W, Sb, S, Se, Fe, Mo, Cu, Re, Te و Ag (جدول ۲)

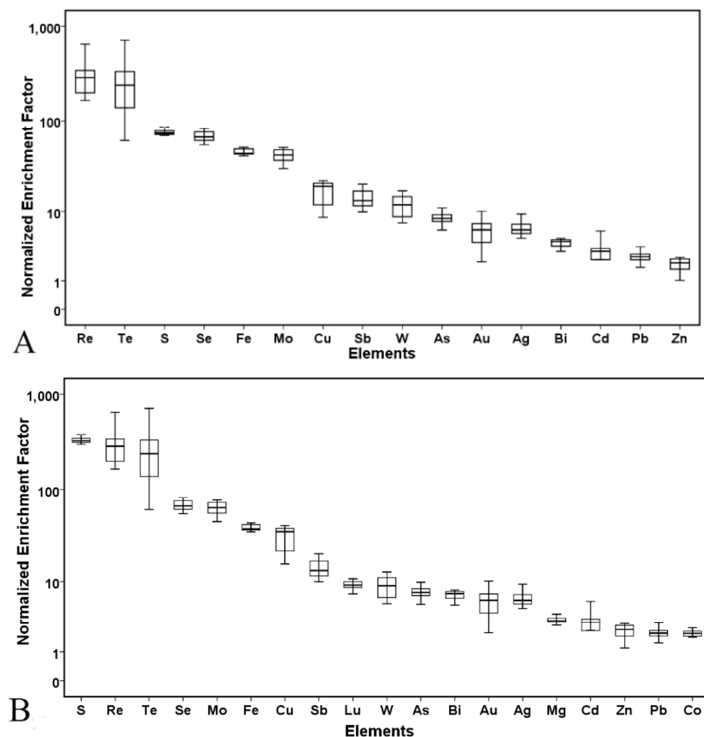
۴- عناصر دارای غنی شدگی خیلی زیاد ( $20 < NEF \leq 40$ ) شامل عناصر Cu, Fe و Cu (جدول ۳)

۵- عناصر دارای غنی شدگی بی نهایت زیاد ( $NEF > 40$ ) شامل عناصر Mo, Se, Te, Re, S, As, Bi, Cd, Pb, Zn و (جدول ۴)

گرفتن غلظت ۶۱ عنصر آنالیز شده در سنگ گرانودیوریت غیرکانه زا و متوسط پوسته ای آنها در  $Sb, Cu, Fe, Mo, Se, Te, Re, S$  و  $Co, Pb, Zn, Cd, Mg, Ag, Au, Bi, As, W, Lu, Tl$  دارای غنی شدگی می‌باشند. این غنی شدگی‌ها از حداقل ۲ تا حداً کثر ۲۸۷ برابر متوسط پوسته ای و سنگ گرانودیوریتی غیرکانه زا می‌باشند. شکل ۵A و ۵B به ترتیب غنی شدگی عناصر بر اساس متوسط پوسته ای و غلظت آنها در سنگ گرانودیوریت غیرکانه زا را نشان می‌دهد.

بر اساس گروه بندی پیشنهادی توسط لُو و همکاران (Lu et al., 2009) ۶۱ عنصر آنالیز شده بر اساس شدت غنی شدگی به گروه‌های زیر تقسیم می‌شوند:

۱- عناصر فاقد غنی شدگی ( $NEF < 2$ ): مجموعاً عنصر از مجموع ۶۱ عنصر آنالیز شده فاقد غنی شدگی



شکل ۵- ترتیب غنی شدگی عناصر در باطله‌های کانه آرایی معدن مس سرچشممه در مقایسه با متوسط فراوانی پوسته ای (A) و غلظت آنها در سنگ گرانودیوریت غیرکانه زا (B)

جدول ۱- غلظت و خلاصه آماری عناصر دارای غنی شدگی متوسط ( $\text{NEF} \leq 5$ ) در نمونه‌های باطله کانه آرایی معدن سرچشمہ

عنصر واحد	Lu mg/kg	Mg %	Cd mg/kg	Zn mg/kg	Pb mg/kg	Co mg/kg	Tl mg/kg
حد تشخیص	0.05	0.01	0.1	0.5	0.5	0.1	0.05
S-1	0.08	1.32	0.2	109	32.9	34.8	1.17
S-2	0.11	1.02	0.6	148	40.3	29.4	1.34
S-3	0.15	1.5	0.3	141	38	32.6	1.48
S-4	0.16	1.21	0.9	236	46.6	30.9	1.46
S-5	0.15	1.24	1	228	49.6	32.6	1.57
S-6	0.15	1.12	1.7	259	49.5	27.4	1.41
S-7	0.16	1.17	1.2	231	47.2	39.6	1.46
S-8	0.16	1.19	1.1	233	49	42.6	1.41
S-9	0.15	1.2	1	270	46.8	33.9	1.55
S-10	0.16	1.12	0.9	258	47.9	31.9	1.42
S-11	0.12	1.08	0.9	216	46.4	25	1.28
S-12	0.09	1.07	1.3	191	44	24.8	1.34
S-13	0.08	0.8	0.1	74.3	47.6	6.2	1.36
S-14	0.21	0.98	0.6	149	47.8	23.2	1.51
میانگین	0.13	1.14	0.84	196	45.26	29.64	1.41
انحراف معيار	0.04	0.16	0.44	61	4.89	8.67	0.11
کمینه	0.08	0.80	0.10	74	32.90	6.20	1.17
بیشینه	0.21	1.50	1.70	270	49.60	42.60	1.57
گرانودیبوریت غیرکانه زا <sup>a</sup>	0.01	0.24	0.2	60	15	10	0.5
متوجه پوسته ای <sup>a</sup>	0.5	2.09	0.2	70	13	25	0.45

a: Levinson, 1974

دارای شعاع تقریباً مشابه با یون آهن فرو می‌باشند؛

#### بنابراین

میتواند جانشین آهن موجود در پیریت شوند (Abraitis *et al.*, 2004). غلظت نیکل موجود در پیریت در محدوده بین  $mg/kg$  ۱۰۶ - ۲۰۰۰ تغییر می‌کند. عنصر آرسنیک نیز قابلیت انحلال محدودی در پیریت دارد؛ اما عموماً به عنوان یک عنصر فرعی در حد  $mg/kg$  تا درصدهای وزنی پایین در این کانی حضور دارد

(Huston *et al.*, 1995). غلظت آنتیموان گزارش شده در پیریت از  $mg/Kg$  ۸۰۰ - ۷۰۰ متغیر است (Abraitis *et al.*, 2004). در باطله های معدن مس سرچشمہ کانی پیریت مهمترین کانی سولفیدی می باشد که میزان آن در باطله ها  $7/5$  تا ۸ درصد

## ۴. بحث و نتیجه گیری

حضور کانی های سولفیدی، به ویژه پیریت و کالکوپیریت، در باطله های سد رسوبگیر مجتمع مس سرچشمہ از دیدگاه زیست محیطی و پتانسیل اقتصادی این باطله ها دارای اهمیت می‌باشد؛ زیرا این کانی ها می‌توانند نقش برجسته‌ای در آنومالی‌های عنصری موجود در باطله ها داشته باشند. مطالعات انجام شده نشان می‌دهد که کانی پیریت علاوه بر عناصر اصلی Fe و S می‌تواند حاوی مقادیری قابل توجهی از عناصر فرعی و کمیاب دیگر مانند Ag, In, Co, Cd, Bi, As, V, Ti, Sn, Se, Pb, Ni, Mo باشد که به صورت جایگزینی در آن یافت می‌شوند (Vaughan and Craig, 1978; Spears *et al.*, 1994)؛ برای مثال یونهای دو ظرفیتی کبالت و نیکل

## تعیین عناصر دارای پتانسیل غنی شدگی ...

بودند. در این گروه بر اساس مقادیر میانه غنی شدگی ها (۵۰ درصد غنی شدگی ها مشاهده شده) به ترتیب عناصر Lu, Cd, Pb, Zn, Tl, Mg و Co بیشترین غنی شدگی می باشند. ملاحظه می شود که در این گروه بیشترین شدت غنی شدگی مربوط به عناصری است که یا کالکوفیل بوده و یا اینکه بدلیل شعاع یونی مشابه می توانند وارد ساختارهای سولفیدی گردند. بالا بودن غلظت Mg در این گروه بدلیل وجود کانی های تیره مانند بیوتیت در باطله ها می باشد که در ساختار آن Mg وجود دارد. در برخی از موارد عنصر T1 به عنوان محصول فرعی در طی کانه آرایی کانسنگهای سولفیدی Pb, Cu, Zn و یا کنسانتره های غنی از پیریت استحصال می شود (Dill, 2010).

تعیین شده است (Khorasanipour *et al.*, 2011). این کانی در بخش های هوازده و اکسید شده باطله ها عامل اصلی تولید زهاب اسیدی محسوب می شود (Khorasanipour, 2015). علاوه بر پیریت کالکوپیریت نیز نیز می تواند حاوی ناخالصی هایی از عناصری مانند Ag, Cd, Bi, As, Ge, Au, V, Ti, Pb, Hg و Ti باشد که به صورت Lottermoser, (2003) جایگزینی در آن یافت می شوند. هرچند میزان این کانی در باطله های مجتمع مس سرچشمeh به شدت وابسته به میزان کارایی فرایند کانه آرایی بوده؛ اما عموماً کمتر از ۱ درصد است. عناصر Lu, Tl, Co, Pb, Zn, Cd, Mg و یا NEF $\leq$ ۵ در باطله های (۲<NEF $\leq$ ۵) بررسی شده دارای غنی شدگی متوسط

جدول ۲- غلظت و خلاصه آماری عناصر دارای غنی شدگی با اهمیت NEF $\leq$ ۵ در نمونه های باطله کانه آرایی معدن سرچشمeh

عنصر واحد	Sb mg/kg	W mg/kg	As mg/kg	Bi mg/kg	Au µg/kg	Ag mg/kg
حد تشخیص	0.1	1	0.5	0.1	2	0.05
S-1	1.6	35	14.7	0.8	18	0.56
S-2	2.8	28	21.1	1	39	0.55
S-3	3.4	30	22.1	0.9	26	0.57
S-4	3.9	21	22.1	1.1	44	0.58
S-5	3.5	18	21	1.1	13	0.63
S-6	5.9	1	21.9	1.1	36	0.62
S-7	4.5	19	25.2	1.1	34	0.64
S-8	4.5	28	22.7	1.1	39	0.63
S-9	5.5	21	20.4	1	37	0.59
S-10	3.9	33	22.1	1	25	0.64
S-11	3.5	23	21.3	0.9	34	0.62
S-12	2.9	31	20.7	1	36	0.62
S-13	3.9	19	20.5	0.8	26	0.68
S-14	4.3	31	23.2	1.4	51	0.78
میانگین	3.9	24.1	21.4	1.02	33	0.62
انحراف معیار	1.1	8.8	2.3	0.15	10	0.06
کمینه	1.6	1.0	14.7	0.80	13	0.55
بیشینه	5.9	35.0	25.2	1.40	51	0.78
گرانودیبوریت غیرکانه زا <sup>a</sup>	0.2	2	2	0.1	4	0.07
متوسط پوسته ای <sup>a</sup>	0.2	1.5	2	0.17	4	0.07

a:Levinson, 1974

جدول ۳- غلظت و خلاصه آماری عناصر دارای غنی شدگی خیلی زیاد (NEF $\leq 40$ ) تا بی نهایت (NEF $>40$ ) در نمونه‌های باطله کانه آرایی معدن

عنصر واحد حد تشخیص	سرچشممه						
	S %	Re mg/Kg	Te mg/Kg	Se mg/Kg	Mo mg/Kg	Fe %	Cu mg/Kg
	0.01	0.001	0.1	0.1	1	0.01	0.2
S-1	3.15	0.13	0.3	5.6	50	4.28	891
S-2	2.84	0.22	0.4	4.3	71	3.94	952
S-3	3.17	0.14	0.5	5.1	77	4.69	807
S-4	2.64	0.27	0.7	4.7	96	3.74	1510
S-5	2.85	0.15	0.5	5.1	89	3.97	1790
S-6	2.63	0.22	0.2	4.2	99	3.74	1740
S-7	3.48	0.14	0.4	6.7	86	4.8	1980
S-8	3.56	0.18	0.1	6.2	100	4.57	2020
S-9	2.97	0.19	0.4	4.4	91	4.74	1630
S-10	2.99	0.22	0.2	5.7	110	4.07	1620
S-11	2.35	0.25	0.1	4	95	3.43	1400
S-12	2.22	0.21	0.2	3.8	85	3.38	1330
S-13	1.18	0.15	0.4	3.6	132	3.24	566
S-14	2.42	0.41	0.9	4	91	4.04	778
میانگین	2.75	0.21	0.38	4.81	90.86	4.05	1358
انحراف معیار	0.60	0.07	0.23	0.95	18.75	0.52	478
کمینه	1.18	0.13	0.10	3.60	50.00	3.24	566
بیشینه	3.56	0.41	0.90	6.70	132.00	4.80	2020
<sup>a</sup> گرانودیوریت غیر کانه زا	0.0058	0.0005	0.001	0.05	1	0.0735	30
<sup>a</sup> متوسط پوسته ای	0.026	0.0005	0.001	0.05	1.5	0.0625	55

a:Levinson, 1974

سنگ گرانودیوریت غیر کانه زا) به صورت  $Sb > W > As > Au > Ag > Bi$  می‌باشد.

متوجه غلظت Sb در باطله های سد رسوب ۵/۹ گیر  $mg/kg \pm ۱/۱$  با حداقل  $۳/۹$  و حداکثر  $۱/۶$  میلی گرم بر کیلوگرم می‌باشد. این میزان غلظت به مراتب بیشتر از غلظت پوسته ای و غلظت این عنصر در سنگ گرانودیوریت ( $۰/۲ mg/kg$ ) می‌باشد. این عنصر از جمله عناصر کالکوفیل همراه با کانه زایی مسپورفیری می‌باشد.

عناصر Sb, W, Sb, As, Au, Bi, As, W در گروه عناصر دارای غنی شدگی با اهمیت (NEF $\leq 20$ ) قرار داشتند. اهمیت بالای عناصر موجود در این گروه بدليل وجود دو عنصر طلا و نقره می‌باشد. در این گروه بجز عنصر W که لیتوفیل است سایر عناصر یا کالکوفیل بوده (Ag, Bi, As, Sb) یا تمایل شدیدی به تمرکز در فازهای سولفیدی دارند (Fe و Au). شدت غنی شدگی عناصر در این گروه بر اساس میانه غنی شدگی‌ها (متوجه غنی شدگی پوسته ای و مقایسه با

## تعیین عناصر دارای پتانسیل غنی شدگی ...

همچنین غلظت این عنصر در سنگ گرانودیوریت  $4 \mu\text{g/kg}$  است. درمورد جامعه آماری عنصر طلا،  $50 \mu\text{g/kg}$  درصد از نمونه‌ها دارای غنی شدگی بیش از ۶ برابر می‌باشند. عنصر طلا می‌تواند در کانی‌های مانند پیریت، پیروتیت و یا آرسنوبیریت وجود داشته باشد. برای مثال کانی پیریت می‌تواند حاوی ۲۰ تا  $40 \mu\text{g/kg}$  طلا باشد، غلظتی که ارتباط مستقیم با میزان آرسنیک موجود در پیریت دارد (Dill, 2010). در کانسارهای پیریتی طلا به صورت دربرداریهای بسیار ریزی از طلای طبیعی و یا به صورت تلویریدهای حاوی Te وجود دارد (Dill, 2010). با توجه به بالا بودن Te در نمونه‌های سد باطله احتمال حضور طلا به صورت ترکیبات تلویریدی در کانی پیریت وجود دارد. برخی از محققین (Murthy, 1990) اقدام به شستشوی طلا و نقره از باطله‌های سولفیدی سرب و روی با استفاده از فرایندهای تسهیل شده میکروبی نموده‌اند. برخی دیگر نیز با استفاده از روش‌های گیاه بالایی و استفاده از گیاهان انباشتگر عناصر طلا و مس را از باطله‌ها استحصلال نموده‌اند (Corral *et al.*, 2011). در باطله‌هایی که این روش برروی آنها اعمال شده بود غلظت طلا  $2/35 \mu\text{g/kg}$  و غلظت مس  $49 \mu\text{g/kg}$  بوده است. علاوه بر این دو عنصر، میزان نقره باطله‌ها نیز  $0/065 \mu\text{g/kg}$  گزارش شده بود. روش‌های استفاده از گیاهان برای استحصلال طلا بطور کامل توسط Sheoran و همکاران (2013) شرح داده شده‌اند. بنظر نمی‌رسد باطله‌هایی که حاوی کمتر از  $1 \mu\text{g/kg}$  طلا باشنند را بتوان از طریق گیاه بالایی به نحو اقتصادی طلای آنرا استحصلال کرد (Corral *et al.*, 2011).

عنصر تنگستن (W) به عنوان یک عنصر لیتوفیل دارای متوسط غلظت  $21/4 \pm 8/8 \mu\text{g/kg}$  در باطله‌های کانه آرایی می‌باشد. حداقل غلظت این عنصر ۱ و حداکثر آن  $35 \mu\text{g/kg}$  بر کیلوگرم است. تنگستن نیز از جمله عناصری است که در کانسارهای مس پورفیری دارای غنی شدگی می‌باشد. این عنصر نیز همراه کانه زایی مولیبدن دیده می‌شود؛ بطوریکه نوع تیپ کانه زایی W-Mo در برخی از کانسارها پورفیری گزارش شده است (Dill, 2010). بنظر می‌رسد غنی شدگی W نیز بیشتر مرتبط با کانه زایی مولیبدن در معدن مس سرچشمeh باشد.

عنصر As نیز از جمله عناصر کالکوفیل مهم در کانسارهای سولفیدی محسوب می‌شود که همبستگی بالای زمین شناسی با Sb دارد. متوسط غلظت این عنصر در باطله‌های سد رسوبگیر سرچشمeh  $2/3 \pm 21/4 \mu\text{g/kg}$  می‌باشد. حداقل میزان غلظت این عنصر  $14/7 \mu\text{g/kg}$  و جداکثر آن  $25/2 \mu\text{g/kg}$  بر کیلوگرم می‌باشد. این مقادیر نیز نسبت به متوسط پوسته ای و گرانودیوریتی این عنصر ( $2 \mu\text{g/kg}$ ) دارای غنی شدگی می‌باشند. عناصر As و Sb و Tl دارای همبستگی‌های ژئوشیمیایی با یکدیگر می‌باشند. برای مثال ارتباط زمین شیمیایی As و Sb یک ارتباط معمول در فرایندهای زمین شناسی می‌باشد و یا در اغلب موارد عنصر Tl به همراه آرسنیک دیده می‌شود (Dill, 2010).

متوسط غلظت عنصر Au در رسوبات سد باطله  $10 \pm 33 \mu\text{g/kg}$  می‌باشد. حداقل غلظت اندازه گیری شده  $13 \mu\text{g/kg}$  و جداکثر مقدار اندازه گیری شده آن  $53 \mu\text{g/kg}$  بر کیلوگرم می‌باشد. متوسط پوسته ای عنصر طلا و

در صد می باشد. در جامعه آماری این عنصر میانه غنی شدگی ها در حدود ۲۷ برابر متوسط پوسته ای و گرانودیوریت غنی شدگی نشان می دهد. به عبارت دیگر بیش از ۵۰ درصد از نمونه ها دارای غنی شدگی بالای ۲۷ برابر می باشند. در سدرسوبگیر سرچشمہ عنصر مس هم در کانی پیریت موجود در باطله ها به صورت جایگزینی وجود دارد و هم در کانی های با ارزش باقیمانده از فرایند کانه آرایی مانند کالکوپیریت، کالکوسیت، و یا کوولیت حضور دارد.

متوجه غلظت آهن در باطله ها حدود  $0.52 \pm 0.4$  درصد می باشد. حداقل غلظت این عنصر  $0.24 / 0.24$  و حداکثر آن  $0.8 / 0.8$  درصد می باشد. میزان بالای آهن در باطله ها (میانه غنی شدگی در حدود  $0.41$  برابر) بدلیل حضور این عنصر در کانی های سولفیدی مانند پیریت ( $\text{FeS}_2$ ) و کالکوپیریت ( $\text{CuFeS}_2$ ) می باشد. از طرف دیگر این عنصر می تواند در کانی های تیره مانند آمفیبول و بیوتیت نیز حضور داشته باشد.

متوجه غلظت مولیبدن در پوسته زمین  $1 \text{ mg/kg}$  است. مولیبدنیت (حاوی  $60$  درصد مولیبدن) تنها کانی با ارزش این عنصر است که در سطح وسیع و اقتصادی از کانسارهای نوع پورفیری استحصال می شود. متوسط غلظت مولیبدن در باطله های بررسی شده حدود  $0.7 / 18$   $\text{mg/kg} \pm 0.91$  می باشد. حداقل غلظت این عنصر  $0.5$  و حداکثر آن  $0.22 / 0.22$  میلی گرم بر کیلوگرم است. در مقایسه با متوسط پوسته ای و سنگ گرانودیوریت غیر کانه زا جامعه آماری مولیبدن دارای میانه غنی شدگی در حدود  $0.3$  برابر می باشد؛ به عبارت دیگر  $50$  درصد از نمونه ها دارای غنی شدگی بیش از  $0.3$  برابر می باشند. هر چند در ترکیب کانی شناسی باطله ها کانی

متوجه غلظت عنصر نقره در باطله های سد رسوبگیر مجتمع مس سرچشمہ  $0.06 / 0.06 \text{ mg/kg} \pm 0.02$  می باشد. حداقل مقدار این عنصر عنصر  $0.55 / 0.55$  و حداکثر آن  $0.78 / 0.78$  میلی گرم بر کیلوگرم است. مقادیر اندازه گیری شده برای این عنصر نیز در مقایسه با متوسط پوسته ای و یا غلظت آن در سنگ گرانودیوریت ( $0.07 / 0.07 \text{ mg/kg}$ ) دارای غنی شدگی می باشد. در جامعه آماری این عنصر بیش از  $50$  درصد از نمونه ها دارای غنی شدگی بیش از  $6$  برابر مقادیر مبنا ( گرانودیوریت و متوسط پوسته ای ) می باشند.

آخرین عنصر در این گروه  $\text{Bi}$  می باشد که متوسط غلظت آن در باطله ها بررسی شده  $0.15 / 0.15 \text{ mg/kg} \pm 0.02$  می باشد. حداقل غلظت این عنصر  $0.08 / 0.08$  و حداکثر آن  $0.4 / 0.4$  میلی گرم بر کیلوگرم است. در مورد جامعه آماری این عنصر نیز بیش از  $50$  درصد از نمونه های غنی شدگی بیش از  $0.8 / 0.8$  برابر مقادیر مبنا را نشان می دهند.

عناصر  $\text{Cu} > \text{Fe} > \text{Mo} > \text{Se} > \text{Te} > \text{Re}$  دارای بیشترین پتانسیل غنی شدگی در باطله های سدرسوبگیر سرچشمہ محسوب می گردند ( غنی شدگی خیلی زیاد  $40 < \text{NEF} < 40$  تا بی نهایت زیاد  $> 40$  ). ترتیب غنی شدگی عناصر این گروه بر اساس متوسط شدت غنی شدگی های بدست آمده از مقادیر متوسط پوسته ای و غلظت این عناصر در سنگ گرانودیوریت غیر کانه زا به صورت زیر می باشد.



متوجه غلظت مس در نمونه های باطله  $0.22 / 0.22 \text{ mg/kg} \pm 0.05$  می باشد. حداقل غلظت این عنصر  $0.56 / 0.56$  و حداکثر غلظت آن  $0.00 / 0.00$  میلی گرم بر کیلوگرم یا

## تعیین عناصر دارای پتانسیل غنی شدگی ...

سنگ گرانوودیوریت غیر کانه زا می باشد. حضور کانی های سولفیدی به ویژه پیریت و کالکوپیریت عامل افزایش بیش از حد گوگرد در باطله ها می باشد. کانی شناسی کانسارهای پورفیری دارای تنوع بالایی می باشد؛ با این حال پیریت کانی غالب در اکثر کانسارهای  $\text{Cl}$ ,  $\text{Cu}$ ,  $\text{Au}$ ,  $\text{Cd}$ ,  $\text{Mo}$  و  $\text{Ag}$  پورفیری محسوب می گردد و این موضوع بیانگر بالا بودن مقدار گوگرد این کانسارها می باشد.

متوسط غلظت عنصر  $\text{Te}$  در باطله ها در حدود  $0.23 \pm 0.38 \text{ mg/kg}$  می باشد. حداقل غلظت این عنصر  $0.9$  و حداکثر آن  $0.9$  میلی گرم بر کیلوگرم است. میانه غنی شدگی برای جامعه آماری این عنصر  $240$  برابر می باشد. این عنصر نیز عنصری کالکوفیل با قابلیت جایگزینی در ساختار کانی های سولفید به صورت ناخالصی های عنصری می باشد. به رغم وابستگی ژئوشیمیایی  $\text{Te}$  به  $\text{Se}$  فراوانی این عنصر در پوسته زمین محدود و حدود  $0.001 \text{ mg/kg}$  می باشد. برخی از کانی های معمول در کانسارسازی مس پورفیری می توانند پتانسیل بالایی برای  $\text{Te}$  داشته باشند. برای مثال غلظت این عنصر در کوولیت تا  $430 \text{ mg/kg}$  در پیریت و کالکوپیریت تا  $70 \text{ mg/kg}$  گزارش شده است (Dill, 2010). از این رو تعجب آور نیست که این عنصر به همراه  $\text{Se}$  از جمله عناصری است که به صورت محصول فرعی از کانسارهای مس پورفیری استحصال می شود.

در باطله های معدن مس سرچشمه عنصر  $\text{Re}$  دارای بالاترین میزان غنی شدگی است. غنی شدگی این عنصر در مقایسه با متوسط پوسته ای و غلظت آن در سنگ گرانوودیوریت بسیار بالا بوده؛ بطوریکه میانه غنی

مولیبدنت شناسایی نشد؛ اما این کانی از جمله مهمترین کانی های موجود در معدن مس سرچشمه می باشد. بنظر میرسد عدم شناسایی این کانی بدليل مقدار پایین آن در رسوبات می باشد. در مطالعات قبلی صورت گرفته نیز اشاره ای به حضور مولیبدنت نشده است. بجز کانی مولیبدنت عنصر مولیبدن می تواند در ساختار کانی هایی سولفیدی مانند پیریت و کالکوپیریت نیز به صورت ناخالصی حضور داشته باشد.

متوسط غلظت عنصر سلنیوم در باطله ها  $0.95 \pm 0.81 \text{ mg/kg}$  میلی گرم بر کیلوگرم می باشد. حداقل غلظت این عنصر  $0.6$  و حداکثر آن  $0.7$  میلی گرم بر کیلوگرم است. در مقایسه با مقادیر مبنا ( متوسط پوسته ای و سنگ گرانوودیوریت) میانه جامعه آماری عنصر سلنیوم  $66$  برابر غنی شدگی نشان می دهد. این شدت از غنی شدگی نسبت به غلظت های مبنا شود. این عنصر نیز از جمله عناصر مهم کالکوفیل محسوب می شود. عنصر سلنیوم بیشتر به صورت محصول فرعی از معادن مس پورفیریو کانسنگ های سولفید توده ای می شود. این عنصر به راحتی جایگزین گوگرد در سولفیدها می شود (Dill, 2010).

متوسط غلظت گوگرد در باطله ها در حدود  $0.6 \pm 0.75 \text{ mg/kg}$  درصد اندازه گیری شد. حداقل این عنصر  $0.18$  و حداکثر آن  $0.56$  درصد است. غنی شدگی قابل ملاحظه این عنصر در باطله های سد رسوبگیر به خوبی بیانگر ماهیت سولفیدی این باطله ها بوده بطوریکه میانه شدت غنی شدگی برای جامعه آماری عنصر گوگرد در حدود  $200$  برابر مقادیر متوسط پوسته ای و

عناصر، به ویژه عناصر کالکوفیل، بیشتر آنومالی‌های مشاهده شده در باطله‌ها مرتبط با وجود این کانی در باطله‌ها باشد. علاوه بر پیریت حضور کانی کالکوپیریت نیز در ایجاد آنومالی‌های عنصری در باطله‌های بررسی شده بی تاثیر نمی‌باشد؛ هرچند میزان این کانی در باطله‌ها به شدت وابسته به میزان کارایی فرایند کانه آرایی بوده و عموماً کمتر از ۱ درصد است. لازم به ذکر است که سایر کانی‌های سولفیدی مانند کالکوسیت و کوولیت تنها در باطله‌های قدیمی و به میزان بسیار کم حضور دارند؛ بنابراین نمی‌توانند نقش برجسته‌ای در آنومالی عناصر موجود در باطله‌ها داشته باشند.

علاوه بر جنبه‌های اقتصادی، وجود کانی‌های سولفیدی در باطله‌های کانه آرایی این باطله‌ها را مستعد تولید زهاب اسیدی و ایجاد آلودگی‌های زیست محیطی نیز نموده است. چنین شرایطی در بخش‌های خشک شده باطله‌ها رخ خواهد داد، هرچند خوشبختانه بدلیل نفوذ پذیری بسیار پائین این باطله‌ها آلودگی‌های ایجاد شده صرفاً محدود به لایه سطحی (حداکثر تا عمق ۱ متر) بوده و گسترش چندانی ندارند. تاثیر این آلودگی‌های بیشتر بر روی کیفیت آب برگشتی از سد جهت مصرف مجدد آن می‌باشد. انجام راهکارهای مناسب به منظور جلوگیری از اکسیدشدن کانی‌های سولفیدی موجود در باطله‌ها باید در مدیریت زیست محیطی سد رسویگیر لاحاظ گردد. با توجه به اینکه سد رسویگیر سرچشمه در مرحله نهایی خود نبوده و به طور پیوسته تخلیه باطله به آن صورت می‌گیرد این روشها باید با هزینه منطقی قابل اجرا باشند. مواردی مانند تخلیه دوره‌ای باطله به منظور جلوگیری از خشک شدن و اکسید شدن آنها و یا ایجاد لایه‌های پوششی با مواد

شدگی‌ها برای جامعه آماری آن در حدود ۲۸۰ mg/kg می‌باشد. متوسط غلظت این عنصر در باطله‌ها  $0.07 \pm 0.21$  میلی گرم بر کیلوگرم می‌باشد. رنیوم عنصری کالکوفیل بوده؛ بنابراین می‌تواند در کانی‌های سولفیدی تمرکز داشته باشد. از طرف دیگر کانی مولیبدنیت در مواردی به حدی غنی از عنصر رنیوم می‌باشد که مولیبدنیت رنیوم دار<sup>۱</sup> نامیده می‌شود؛ بنابراین غنی شدگی بیش از حد عنصر Re در مقایسه با متوسط پوسته‌ای آن (kg/0.0005) می‌تواند بدلیل همراهی آن با عنصر مولیبدن نیز باشد.

#### ۱.۴. نتیجه گیری کلی

عناصر W, Lu, Sb, Cu, Fe, Mo, Se, Te, Re, S, Tl, Co, Pb, Zn, Cd, Mg, Ag, Au, Bi, As مهمترین عناصری هستند که درجات متفاوتی از غنی شدگی را در باطله‌های بررسی شده نشان می‌دهند. از دیدگاه زیست محیطی و اقتصادی، کانی پیریت مهمترین کانی موجود در باطله‌های کانه آرایی مجتمع مس سرچشمه محسوب می‌شود. وجود این کانی هم از نظر پتانسیل اقتصادی عناصر فرعی موجود در باطله‌ها و هم از نظر پتانسیل عوارض زیست محیطی مرتبط با این باطله‌ها حائز اهمیت می‌باشد. میزان پیریت موجود در باطله‌های کانه آرایی مجتمع مس سرچشمه بین ۷/۵ تا ۸ درصد تخمین می‌شود. بنظر می‌رسد با توجه به قابلیت بالای کانی پیریت در جایگزین کردن

پیریت، به عنوان مهمترین کانی سولفیدی موجود در باطله ها ، بتواند راهکارهایی جدیدی را در مدیریت باطله های کانه آرایی پیش رو قرار داد. این راهکارها درصورتیکه بتوانند با اولویت‌های زیست محیطی نیز همراه شوند می توانند گزینه های بسیار مطلوب‌تری محسوب گردند.

شیمیایی مانند مالچ های طبیعی و یا پلیمرهای اکرلیک محلول در آب می‌توانند به منظور جلوگیری از رسیدن اکسیژن به باطله ها می‌توانند به عنوان راهکارهایی برای جلوگیری از اکسیدشدن باطله ها مطرح باشند. تحقیقات در این زمینه‌ها در واحد تحقیقات مجتمع مس سرچشمeh در حال انجام می‌باشد. مطالعات کانی شناسی و ژئوشیمیایی بیشتر با تمرکز بر روی کانی

## References

- Abrailis, P.K., Pattrick, R.A.D., Vaughan, D.J., 2004. Variation in The compositional, textural and electrical Properties of natural pyrite: a review. International Journal of mineral Processing, 74: 41-59.
- Aftabi, A., Atapour, H., 2010. Alteration geochemistry of volcanic rocks around Sarcheshmeh porphyry copper deposit, Rafsanjan, Kerman, Iran: implications for regional exploration. Resource Geology, 61(1):76–90.
- Aswathanarayana, U., 2005. Mineral Resources Management and the Environment. Taylor & Francis e-Library, p 313.
- Atapour, H., Aftabi, A., 2007. The geochemistry of gossans associated with Sarcheshmeh porphyry copper deposit, Rafsanjan, Kerman, Iran: implications for exploration and the environment. Journal of Geochemical Exploration, 93:47–65.
- Corral, V.W., Anderson, C., Lopez, M.R., Vargas, M.A., Perez, J.L., 2011. Phytoextraction of gold and copper from mine tailings with *Helianthus annuus* L. and Kalanchoe serrata L. Minerals Engineering, 24:1488–1494.
- Dill, H.G., 2010. The “chessboard” classification scheme of mineral deposits: Mineralogy and geologyfrom aluminum to zirconium. Earth-Science Reviews, 100:1–420.
- Dimitrijevic, M.D., 1973. Geology of Kerman region: institute for geological and mining exploration and investigation of nuclear and other mineral raw material, Beograd – Yugoslavia. Iran Geol. Survey Rept Yu/52.
- Dold, B., Fontboté, L., 2001. Element cycling and secondary mineralogy in porphyry copper tailings as function of climate, primary mineralogy, and mineral processing. Journal of Geochemical Exploration 74: 2-55.
- Hezarkhani, H., 2006. Hydrothermal evolution of the Sar-Cheshmeh porphyry Cu–Mo deposit, Iran: evidence from fluid inclusions. J. Asian Earth Sci. 28:409–422.
- Huston, D.L., Sie, S.H., Suter, G.F., Cooke, D.R., Both, R.A., 1995. Trace elements in sulfide minerals from Eastern Australian volcanic- hosted massive sulfide deposits. Part

I. Proton microprobe analyses of pyrite, chalcopyrite and sphalerite , and PartII. Selenium levels in pyrite: comparsion with (d34) values and implications for the source of sulfur in volcanogenic hydrothermal systems. Economic Geology, 90:1167-1196.

Khorasanipour, M., 2015. Environmental mineralogy of Cu-porphyry mine tailings, a case study of semi-arid climate conditions, Sarcheshmeh mine, SE Iran. Journal of Geochemical Exploration, 153:40–52.

Khorasanipour, M., Eslami, A., 2014. Hydrogeochemistry and contamination of trace elements in Cu-porphyry mine tailings: a case study from the Sarcheshmeh Mine, SE Iran. Mine Water and the Environment, 33: 335–352.

Khorasanipour, M., Esmaeilzadeh, E., 2015. Geo-genic arsenic contamination in the Kerman Cenozoic Magmatic Arc, Kerman,Iran: Implications for the source identification and regional analysis. Applied Geochemistry, 63: 610-622.

Khorasanipour, M., Esmaeilzadeh, E., 2016. Environmental characterization of Sarcheshmeh Cu-smelting slag, Kerman, Iran: Application of geochemistry, mineralogy and single extraction methods. Journal of Geochemical Exploration, 166: 1–17.

Khorasanipour, M., Tangestani, M.H., Naseh, R., Hajmohammadi, H., 2011. Hydrochemistry, mineralogy and chemical fractionation of mine and processing wastes associated with porphyry copper mines: a case study from the Sarcheshmeh mine, SE Iran. Applied Geochemistry 26: 714–730.

Kossoff, D., Dubbin, W.E., Alfredsson, M., Edwards, S.J., Macklin, M.G., Hudson-Edwards K.A., 2014. Mine tailings dams: Characteristics, failure, environmental impacts, and remediation. Applied Geochemistry, 51:229–245.

Levinson, A.A., 1974. Introduction to Exploration Geochemistry. Applied Publishing Ltd., Calgary Alberta, Canada, 611pp.

Lottermoser, B.G., 2003. Mine waste: Characterization, Treatment and Environmental Impacts. Berlin Springer, press, 277pp.

Lowell, J.D., Guilbert, U., 1970. Lateral and vertical alteration mineralization zoning in porphyry ore deposits. Economic Geology 65: 373-408.

Lu, X., Li, L.Y., Wang, L., Lei, K., Huang, J., Zhai, Y., 2009. Contamination assessment of mercury and arsenic in roadway dust from Baoji, China. Atmospheric Environment, 43:2489–96.

Murthy, D.S.R., 1990. Microbially enhanced thiourea leaching of gold and silver from lead-zinc sulphide flotation tailings. Hydrometallurgy, 25:51-60.

Saxena, M., Dhimole, L.K., 2006. Utilization and value addition of copper tailing as an extender for development of paints. Journal of Hazardous Material 129: 50–57.

Singer, D.A., Berger, V.I., and Moring, B.C., 2008. Porphyry copper deposits of the world— Database and grade and tonnage models: U.S. Geological Survey Open-File Report, 2008–1155.

Shafiei, B., 2008. The metallogenetic modeling for Kerman porphyry copper belt and implications for exploration: Ph.D. Thesis, Shahid Bahonar University of Kerman,Iran, 311 pp.

Shahabpour, J., and Kramers, J.D., 1987. Lead isotope data from the Sarcheshmeh porphyry copper deposit, Iran. *Mineralium Deposita*, 22: 275-281.

Shahbpour, J., Doorandish, M., 2007. Mine drainage water from the Sar Cheshmeh porphyry copper mine, Kerman, IR Iran. Environmental Monitoring and Assessment, 141:105–120.

Sheoran, V.S., Sheoran, A., Poonia, P., 2013. Phytomining of gold: A review. Journal of Geochemical Exploration, 128:42-50.

Shotyk, W., Blaser, P., Grunig, A., Cheburkin, A.K., 2000. A new approach for quantifying cumulative, anthropogenic,

atmospheric lead deposition using peat cores from bogs: Pb in eight Swiss peat bog profiles. Science of the Total Environment, 249: 281–295.

Spears, D.A., Tarazona, M.R.M., Lee, S., 1994. Pyrite in UK coals: its environmental significance. Fuel 37, 1051–1055.

Vaughan, D.J., Craig, J.R., 1978. Mineral chemistry of metal sulfides. Cambridge Earth Science Series, Cambridge University Press, Cambridge, 512pp.